

# بررسی اثرات نسبت چگالی بر رفتار جت تزریق شده در داخل جریان آشفته‌ی داغ با استفاده از مدل‌های آشفتگی مختلف

محمد رضا سلیمی<sup>۱</sup>، محمد طبیعی رهنی<sup>۲</sup>، مهدی رمضانی زاده<sup>۳</sup> و روزبه فرهادی آذر<sup>۴</sup>

۱، ۲ دانشکده مهندسی هوافضاء، دانشگاه صنعتی شریف

۳ دانشکده مهندسی هوافضاء، دانشگاه هواپیمایی شهید ستاری

تاریخ دریافت مقاله: ۱۳۹۰/۱۲/۰۴

تاریخ ارزیابی نهایی: ۱۳۹۱/۰۵/۰۹

## چکیده

در این تحقیق، اثرات اختلاف چگالی بین جریان عرضی داغ و جت خنک کننده بر سطح آشفتگی جریان و اثربخشی خنک‌کاری لایه‌ای، در نسبت سرعت‌های مختلف، مورد مطالعه قرار گرفته است. برای این منظور، یک برنامه رایانه‌ای توسعه داده شده که با استفاده از روش حجم محدود و الگوریتم سیمپل به شبیه‌سازی جریان روی یک شبکه چند بلوکی، غیر یکنواخت و جابجا شده می‌پردازد. از سه مدل آشفتگی  $k - \omega$  استاندارد، انتقال تنش برشی و  $-k\omega - f^2$  استفاده شده است. شبیه‌سازی‌ها برای سه نسبت چگالی  $0/5$ ،  $1/5$  و  $2/5$  در سه نسبت سرعت  $0/5$ ،  $1$  و  $2$  انجام شده است. نسبت دمای بین جت و جریان عرضی و عدد رینولدز جت نیز، به ترتیب برابر با  $0/5$  و  $4700$  در نظر گرفته شده است. مقایسه‌ی نتایج بدست آمده نشان از تاثیرات چشمگیر نسبت چگالی بر انرژی جنبشی آشفتگی بخصوص در نواحی نزدیک به دیواره دارد. بنابراین، ضریب انتقال حرارت جابجایی می‌تواند تا حدود زیادی توسط نسبت چگالی تحت تاثیر قرار بگیرد. همچنین، نسبت چگالی بین جت و جریان عرضی، تاثیرات چشمگیری بر میزان نفوذ و گسترش جت در جریان عرضی، در هر سه جهت محوری، عمودی و جانبی دارد. علاوه بر این، در نسبت سرعت پایین ( $0/5$ )، افزایش نسبت چگالی موجب کاهش اثربخشی میانگین‌گیری شده در جهت جانبی می‌شود. در حالی که در نسبت سرعت بالاتر ( $2/0$ )، با افزایش نسبت چگالی، اثربخشی خنک‌کاری میانگین افزایش می‌یابد.

## کلیدواژه:

jet در داخل جریان عرضی، نسبت سرعت، نسبت چگالی، انرژی جنبشی آشفتگی، مدل‌های آشفتگی مختلف، توربین‌های گازی.

## ۱. مقدمه

محدود می‌سازد. از این‌رو، تابه‌حال تلاش‌های زیادی جهت تولید پره‌های مقاوم‌تر (مانند ایجاد یک لایه‌ی خارجی از مواد مقاوم در برابر تنش‌های حرارتی ولی ضعیف‌تر در مقابل تنش‌های سازه‌ای روی پره‌ها) و یا خنک کردن پره‌ها صورت گرفته است[۱]. در خنک‌کاری لایه‌ای که از مؤثرترین و پرکاربردترین روش‌ها در محافظت از سطوح به شمار می‌رود، هوای خنک از طریق حفره‌هایی که روی سطح ایجاد شده، داخل جریان عرضی تزریق و با ایجاد یک لایه‌ی محافظت روی پره‌ها، از تماس مستقیم گازهای داغ با سطح جلوگیری می‌شود. این عمل باعث می‌شود که پره‌های توربین در دمای پایین‌تری نسبت به دمای کارکرد موتور قرار داشته

راندمان حرارتی موتورهای توربین گازی کاملاً وابسته به درجه‌ی حرارت گازهای داغ ورودی به توربین می‌باشد. به عبارت دیگر، با افزایش دمای گازهای ورودی به توربین، راندمان چرخه نیز افزایش می‌یابد. این مسئله، علاقه‌ی شدیدی را در صنعتگران جهت افزایش هرچه بیشتر دمای کارکرد توربین ایجاد نموده است. اما مقاومت حرارتی پره‌های توربین، این افزایش دمای کارکرد را

۱. دانشجوی دکترا mohammad.salami@ae.sharif.edu

۲. استاد taeibi@sharif.edu

۳. استادیار ramezanizadeh@gmail.com

۴. کارشناس ارشد r\_farhadi@alum.sharif.edu

چگالی ۰/۵ و ۱/۰ مورد مطالعه قرار دادند. نتایج آنها نشان داد که نسبت چگالی تاثیرات شدیدی بر گسترش و محل شکل گیری گردا بهای خلاف جهت همگرد و نعل اسپی دارد. به نحوی که با افزایش نسبت چگالی، گردا بهای خلاف جهت همگرد بیشتر در راستای عمودی و عرضی دچار پخش شدگی می‌شوند که این مطلب نشان دهنده نفوذ بیشتر جت خنک در سیال داغ می‌باشد. علاوه بر موارد فوق، از میان تحقیقات انجام گرفته روی اثرات نسبت چگالی می‌توان مطالعات بوگارد و تول در سال ۲۰۰۶<sup>[۸]</sup>، جو نز در سال ۱۹۹۹<sup>[۹]</sup> و رنس و همکارانش در سال ۲۰۰۷<sup>[۱۰]</sup> اشاره کرد. توجه شود که تحقیقات انجام شده توسط آنها، همگی توسط روش‌های تجربی صورت گرفته است. همچنین، باید اشاره شود که نتایج تحقیقات آنها به طور خلاصه، نشان دهنده افزایش اختلاط و شدت آشفتگی در اثر افزایش نسبت چگالی می‌باشد. دلیل این موضوع نیز افزایش نسبت اندازه حرکت بین جت و جریان عرضی است که ناشی از افزایش نسبت چگالی می‌باشد.

مسئله اندکش جت و جریان عرضی، به دلیل ایجاد ساختارهای گردا بهای متعدد، از جمله مسائل پیچیده در جریان‌های آشفته به شمار می‌رود. از این‌رو، استفاده از مدل‌های آشفتگی مناسب، به شدت حائز اهمیت است. بنابراین، تحقیقات زیادی در رابطه با توانایی مدل‌های آشفتگی در شبیه‌سازی این نوع از جریان صورت گرفته که در ادامه، به دو مورد از آنها اشاره می‌شود.

هذا و آچاریا<sup>[۱۱]</sup> در سال ۲۰۰۰، اندکش جت و جریان عرضی را با استفاده از مدل‌های مختلف دو معادله‌ای (هفت نوع مختلف) مورد مطالعه قرار دادند. نتایج تحقیقات آنها نشان داد که تمامی مدل‌های دو معادله‌ای استفاده شده، مقادیر میدان سرعت را در ناحیه‌ی دنباله‌ی جت بیش از حد واقعی آن پیش‌بینی کرده و به همین دلیل، گسترش طولی و عرضی جت را بیش از مقدار واقعی آن نشان می‌دهند. بنابراین، آنها نتیجه گرفتند که جهت شبیه‌سازی دقیق‌تر میدان جریان آشفته این مسئله یا باید از مدل‌های پیچیده تر استفاده نمود و یا روی مدل‌های دو معادله‌ای موجود اصلاحاتی ایجاد کرد. همچنین، جودای و همکارانش در سال ۲۰۰۷<sup>[۱۲]</sup> در تحقیق مشابهی عملکرد مدل‌های مختلف دو معادله‌ای را در کنار مدل تنش رینولدز مورد ارزیابی قرار دادند. نتایج آنها نیز بیانگر برتری مدل تنش رینولدز در مقایسه با مدل‌های دو معادله‌ای رایج می‌باشد.

با توجه به تحقیقات نگارنده‌گان مقاله، اثرات توأم نسبت چگالی و نسبت سرعت بر سطح آشفتگی میدان جریان تا بحال مورد مطالعه قرار نگرفته است. از این‌رو، در تحقیق حاضر با نوشتمن یک رابطه‌ی

واز این رو بتوان دمای بخش تورین را تا دمایی بالاتر از دمای قابل تحمل توسط پره‌ها افزایش داد<sup>[۲]</sup>. بنابراین، در طول پنجاه سالی که از ابداع این روش می‌گذرد، تلاش‌های زیادی جهت افزایش راندمان خنک کاری صورت گرفته و محققان نشان داده‌اند که پارامترهای زیادی بر هیدرودینامیک این جریان پیچیده تاثیر گذار هستند. از جمله این پارامترها می‌توان به نسبت دمش، شکل هندسی سوراخ‌ها، آرایش و چیدمان جت‌ها و نسبت چگالی اشاره نمود.

نسبت دبی جت به دبی جریان عرضی برای یک سطح مقطع یکسان را نسبت دمش می‌نامند. این پارامتر به عنوان یکی از موثرترین عوامل در راندمان خنک کاری توسط محققان زیادی مورد توجه قرار گرفته است. نتایج آنها نشان می‌دهد که مقدار بهینه‌ی نسبت دمش تابع عوامل زیادی از جمله شکل هندسی سوراخ‌ها و زاویه‌ی تزریق آنها می‌باشد. گل‌دشتاین و همکارانش<sup>[۳]</sup> در سال ۱۹۷۳ و جبران و براون<sup>[۴]</sup> در سال ۱۹۸۵ به ترتیب، اثرات شکل هندسی سوراخ‌ها و زاویه‌ی تزریق آنها را بر نسبت دمش بهینه مورد بررسی قرار دادند. نتایج آنها نشان داد که نسبت دمش بهینه برای یک جت استوانه‌ای در حدود ۰/۵ می‌باشد. به عبارت دیگر، با افزایش بیشتر نسبت دمش، نفوذ جت در جریان عرضی افزایش می‌یابد. البته، با کاهش نسبت دمش، سیال کافی برای خنک کاری مناسب روی سطح تزریق نمی‌شود. آنها همچنین نشان دادند که نسبت دمش بهینه با تغییر زاویه‌ی تزریق تغییر می‌کند.

در شرایط عملیاتی یک تورین گازی، دمای جت‌های خنک کننده حدوداً نصف دمای گازهای وارد شونده به تورین است. بنابراین، به طور طبیعی، با یک نسبت چگالی در حدود ۲ مواجه هستیم. البته، به دلیل این که ایجاد چنین شرایطی (چگالی متفاوت) در آزمایشگاه کار چندان ساده‌ای نیست، معمولاً از نسبت چگالی یک و یا در حدود یک استفاده می‌شود. از آنجایی که اکثر تحقیقات عددی صورت گرفته در راستای کارهای تجربی قبلی بوده، این مسئله کمتر توسط محققان بصورت عددی مورد توجه قرار گرفته است. هس و رودی در سال ۱۹۹۲<sup>[۵]</sup> اثرات نسبت چگالی را در دو عدد ماخ ۰/۵ و ۱ مورد بررسی قرار دادند و به این نتیجه رسیدند که نسبت چگالی برای جت با ماخ ۰/۵، بیشتر ناحیه‌ی نزدیک به جت را متاثر می‌کند، در حالی که در مورد جت با ماخ خروجی ۱، این تاثیرات در ناحیه‌ی دور دست جت بیشتر مشهود می‌باشد. لذا، این گونه نتیجه گیری نمودند که اثرات نسبت چگالی با کاهش عدد ماخ جت، کاهش می‌یابد. رمضانی‌زاده و همکارانش<sup>[۶]</sup> در سال ۲۰۰۷، اثرات نسبت چگالی را با استفاده از رهیافت شبیه‌سازی گردا بهای بزرگ، برای نسبت سرعت ۰/۵ و سه نسبت

$$\varepsilon = func \left[ \beta^* \omega k^{n^-} v^{2^{1-n}} \right] + (1 - func) \frac{2vk}{y^2}, \quad (5)$$

که در آن،

$$func = [1 - \exp(-0.02 \text{Re}_y)]^2, \quad (6)$$

و در آن،

$$\text{Re}_y = \frac{\sqrt{k}y}{v}. \quad (7)$$

سایر معادلات مدل نیز عبارتند از:

$$\frac{Dk}{Dt} = P - \varepsilon + \frac{\partial}{\partial x_j} \left[ (v + v_t) \frac{\partial k}{\partial x_j} \right], \quad (8)$$

(9)

$$\frac{D\omega}{Dt} = \alpha \frac{\omega}{k} P_k - \beta \omega^2 \left( \frac{v^2}{k} \right)^{1-n} + \frac{\partial}{\partial x_j} \left[ (v + \sigma v_t) \frac{\partial \omega}{\partial x_j} \right],$$

$$\frac{D\bar{v}^2}{Dt} = kf - \varepsilon \frac{\bar{v}^2}{k} + \frac{\partial}{\partial x_j} \left[ (v + v_t) \frac{\partial \bar{v}^2}{\partial x_j} \right], \quad (10)$$

$$L^2 \nabla^2 f - f = \frac{C_1}{T} \left( \frac{\bar{v}^2}{k} - \frac{2}{3} \right) + C_2 \frac{P}{k}. \quad (11)$$

مقیاس‌های طولی، زمانی و لزجت گردابهای نیز به صورت زیر به دست می‌آیند:

$$T = \min \left\{ \max \left( \frac{k}{\varepsilon}; 6\sqrt{\frac{v}{\varepsilon}} \right); \frac{\alpha k}{\sqrt{6}v^2 C_\mu |S|} \right\}, \quad (12)$$

$$L = C_l \max \left\{ \min \left( \frac{k^{3/2}}{\varepsilon}; \frac{k^{3/2}}{\sqrt{6}C_\mu v^2 |S|} \right); C_\eta \left( \frac{v^3}{\varepsilon} \right)^{1/4} \right\}, \quad (13)$$

$$v_t = C_\mu \bar{v}^2 T. \quad (14)$$

ثابت‌های این مدل نیز به صورت زیر می‌باشد:

$$\beta^* = 0.09, \quad \beta = \frac{4}{5} \beta^*,$$

$$C_1 = 0.4, \quad C_2 = 0.3,$$

$$\sigma_\omega = 1.5, \quad \alpha = \frac{\beta}{\beta^*} - \frac{1}{\sigma_\omega} \left[ K^2 / \sqrt{\beta^*} \right]$$

$$C_L = 0.23, \quad C_\mu = 0.25,$$

$$\kappa = 0.41.$$

انتقال جداگانه برای چگالی اثرات نسبت چگالی بر اندرکنش جت خنک تزریق شده به داخل جریان عرضی داغ مورد مطالعه قرار گرفته است. به این منظور، سه نسبت چگالی  $0/5$ ،  $1/0$  و  $2/0$  و سه نسبت سرعت  $0/5$ ،  $1/0$  و  $2/0$  در نظر گرفته شده و نتایج حاصل مورد بررسی و مقایسه قرار گرفته است. همچنین، با توجه به تاثیرات زیاد مدل‌های آشفتگی در نتایج تحقیق حاضر از مدل نسبتاً جدید  $\bar{v}^2 f - k\omega$  در کنار مدل‌های دو معادله‌ای رایجی  $\omega - k$  استاندارد و  $SST$  استفاده شده و نتایج حاصل از آنها با نتایج تجربی آجرش و همکارانش [۱۳]، مقایسه شده است.

## ۲. معادلات حاکم

معادلات مربوط به جریان سیال تراکم ناپذیر حاکم بر این مسئله عبارتند از: معادله پیوستگی، اندازه‌ی حرکت، انرژی و معادله‌ی انتقال چگالی که برای لحاظ کردن اختلاف چگالی بین جت و جریان عرضی مورد استفاده قرار می‌گیرد. این معادلات، در حالت پایا و سه‌بعدی به صورت زیر نوشته می‌شوند:

$$\frac{\partial U_i}{\partial x_i} = 0, \quad (1)$$

$$\frac{\partial (U_i U_j)}{\partial x_j} = -\frac{1}{\rho} \left( \frac{\partial p}{\partial x_i} \right) + \frac{\partial}{\partial x_j} \left( 2\mu S_{ij} - \bar{u}'_i \bar{u}'_j \right), \quad (2)$$

$$\frac{\partial (U_i T)}{\partial x_j} = \frac{\partial}{\partial x_j} \left( \frac{\nu}{pr} \frac{\partial T}{\partial x_j} - \bar{t}' \bar{u}'_j \right), \quad (3)$$

$$\frac{\partial (U_i \rho)}{\partial x_j} = \frac{\partial}{\partial x_j} \left( \frac{\nu}{Sc} \frac{\partial \rho}{\partial x_j} - \bar{\rho}' \bar{u}'_j \right). \quad (4)$$

که در آنها، عبارت  $\bar{u}'_i \bar{u}'_j$  معرف تنش‌های رینولدز است که باید مدل شود. همچنین، جهت مدل‌سازی تنش‌های  $\bar{t}' \bar{u}'_j$  و  $\bar{\rho}' \bar{u}'_j$  از قیاس رینولدز<sup>۱</sup> و فرض بوزینسک استفاده شده است. از این‌رو، در این تحقیق از معادلات میانگین گیری شده‌ی زمانی و تقریب بوزینسک، جهت شبیه‌سازی تمامی تنش‌های آشفتگی ظاهر شده در معادلات استفاده شده است. لزجت گردابهای نیز با استفاده از مدل‌های  $k - \omega$ ،  $SST$  و  $v^2 f - k\omega$  مورد محاسبه قرار گرفته است.

اختلاف بین مدل‌های  $v^2 f - k\omega$  و  $v^2 f - k\varepsilon$ ، تقریباً شبیه به اختلاف بین مدل‌های  $k - \omega$  و  $k - \varepsilon$  استاندارد می‌باشد. با این تفاوت که در مدل  $v^2 f - k\omega$ ، جونز [۱۴] به جای تعریف معمول  $\varepsilon = \beta^* \omega k$  که در مدل  $k - \omega$  استاندارد مورد استفاده قرار می‌گیرد، تبدیل ذیل را معرفی نموده است:

### 1 . Reynolds Analogy

$$\omega_{in} = \frac{(1 \rightarrow 10)V_{cf}}{L}, \quad (16)$$

که در آن،  $L$  طول دامنه محاسباتی می‌باشد.

در دیواره جامد از شرط عدم لغزش برای مؤلفه‌های سرعت، شرط مرزی آدیباتیک برای کمیت دما و شرط مرزی بدون شار برای چگالی استفاده شده است. همچنین، مقادیر کمیت‌های آشفتگی به صورتی که در جدول (۱) ارائه شده، تخصیص داده شده است. در مرز خروجی نیز گرادیان کلیه کمیت‌ها در راستای محور طولی برابر با صفر در نظر گرفته شده است. البته، مؤلفه‌ی افقی سرعت نیز به نحوی اعمال شده که بقاء جرم در مرز خروجی برآورده شود.

با توجه به این که در نظر است اندرکنش جریان عرضی با جریان حاصل از تزریق یک ردیف از جت‌های چیده شده در جهت محور  $Z$  ها مورد مطالعه قرار گیرد و با عنایت به محدودیت‌های حافظه و سرعت پردازش رایانه‌های مورد استفاده، تنها یکی از جت‌ها شبیه‌سازی شده و اثرات جت‌های مجاور با اعمال شرط مرزی پریودیک در راستای محور  $Z$  لحاظ شده است. ضمناً، از آنجایی که مرز بالایی دامنه حل به اندازه‌ی کافی دور از خروجی جت واقع شده است، با ناچیز در نظر گرفتن اثرات تزریق جت در این صفحه، تغییرات تمامی کمیت‌ها در راستای محور  $Y$  ها صفر درنظر گرفته شده است.

### ۲-۳. مطالعه‌ی عدم وابستگی حل به شبکه‌ی عددی و اعتبارسنجی نتایج

با توجه به این که در شبیه‌سازی عددی از مدل‌های آشفتگی مختلفی استفاده شده و حساسیت مدل‌های آشفتگی نسبت به اندازه‌ی شبکه با یکدیگر متفاوت می‌باشد، لذا حساس‌ترین مدل به کار رفته، یعنی مدل  $k\omega - f_2$ ، برای مطالعه‌ی عدم وابستگی حل به شبکه مورد بررسی قرار گرفته است. برای این منظور، از پنج شبکه‌ی مختلف که تعداد نقاط بکار رفته در آنها در جداول (۲) و (۳) آورده شده، استفاده گردیده است. نقاط به کار رفته در جهت‌های مختلف برای شبکه‌بندی جریان عرضی در جدول (۲) و برای جریان جت در جدول (۳) ارائه شده است. نتایج به دست آمده از شبیه‌سازی عددی با استفاده از این شبکه‌ها، برای مؤلفه‌ی افقی سرعت و انرژی  $X/Dj = 3$  و مقطع  $Z/Dj = 0$  جنبشی آشفتگی در صفحه‌ی  $v^2 = 2/3 k$  در نیز برآورده شده و با فرض آشفتگی همگن در ورودی داریم:

با توجه به این که معادلات مدل‌های آشفتگی  $k - \omega$  و  $SST$  در اکثر مراجع مربوط به مدل‌سازی جریان‌های آشفته ذکر شده و کاربرد بسیار وسیعی نیز داشته‌اند [۱۵ الی ۱۷]، از تکرار مجدد آنها در اینجا اجتناب شده است.

### ۳. متداول‌ویژی عددی

برای حل معادلات حاکم بر جریان آشفته، تراکم ناپذیر و متوسط‌گیری شده زمانی در حالت سه بعدی، از روش حجم محدود روی یک شبکه‌ی با سازمان و غیر یکنواخت استفاده شده و ارتباط بین میدان سرعت و فشار نیز با استفاده از الگوریتم سیمپل<sup>۱</sup> ایجاد شده است. شبکه‌ی تولید شده نیز به نحوی است که جهت دستیابی به دقت بالاتر در نواحی با گرادیان‌های شدید، یعنی در نزدیکی دیواره و خروجی جت، توسط رابطه‌ی ذیل متراکم شده است:

$$Y = H \frac{(\beta + 1) - (\beta - 1)[((\beta + 1)/(\beta - 1))^{(1-\eta)}]}{[(\beta + 1)/(\beta - 1)]^{(1-\eta)} + 1}. \quad (15)$$

شکل (۲)، نمایی از شبکه‌ی استفاده شده در این تحقیق را نشان می‌دهد. همچنین، لازم به ذکر است که نحوه بخورد با معادلات مدل‌های آشفتگی نیز دقیقاً همانند معادلات اندازه‌ی حرکت، یعنی با استفاده از رابطه‌ی توانی<sup>۲</sup> در الگوریتم سیمپل، می‌باشد [۱۸].

### ۴-۱. تعریف مسئله و شرایط مرزی

دامنه محاسباتی به کار رفته در این تحقیق، در شکل (۱) نشان داده و نتایج حاصل از شبیه‌سازی عددی با نتایج تجربی آجرش و همکارانش [۱۳] مقایسه شده است. همان‌طور که مشاهده می‌شود، مرزهای ورودی، خروجی و بالایی در محلی واقع شده که بتوان از اثرات جریان جت در آنها صرف نظر کرد. ضخامت لایه‌ی مرزی در ورودی جریان عرضی دو برابر قطر جت در نظر گرفته شده و برای اعمال این شرط، از رابطه‌ی  $1/7$  توانی برای مؤلفه‌ی افقی سرعت استفاده شده است. سایر مؤلفه‌های سرعت در این مرز برابر با صفر در نظر گرفته شده و مقادیر دما و چگالی نیز در این مرز ثابت فرض شده است. جهت اعمال شرط مرزی ورودی در مدل‌های آشفتگی، شدت آشفتگی برابر با  $1.2\%$  در نظر گرفته شده و با فرض آشفتگی همگن در ورودی داریم:

$v^2 = 2/3 k$  در این مرز برابر است با:

1. Semi-Implicit Method for Pressure Linked Equations (SIMPLE)
2. Power Law

شدہاند. در رابطه با این شکل‌ها می‌توان به دو نکته اشاره کرد. نکته‌ی اول این‌که در تمامی نسبت سرعت‌ها، با افزایش نسبت چگالی، نمودارهای مؤلفه‌ی افقی سرعت در راستای محور  $Y$  بیشتر کشیده می‌شوند. این موضوع، نشان‌دهنده‌ی نفوذ بیشتر جت در جریان عرضی می‌باشد که دلیل آن افزایش نسبت اندازه‌ی حرکت به ازای افزایش نسبت چگالی، در یک نسبت سرعت ثابت است. همچنین، مشاهده می‌شود که میزان افزایش نفوذ جت در جریان عرضی، به ازای تغییرات نسبت چگالی، در تمامی نسبت سرعت‌ها تقریباً یکسان و در حدود ۵٪ می‌باشد. توجیه این مسئله به این صورت است که در یک نسبت سرعت ثابت، درصد افزایش نسبت اندازه‌ی حرکت برابر با درصد افزایش نسبت چگالی می‌باشد (در این تحقیق ۵٪). این مسئله، با توجه به نسبت اندازه‌ی حرکت که به صورت زیر تعریف شده، بیشتر روش می‌شود:

$$j = \frac{\rho_{jet}}{\rho_{cf}} \cdot \left( \frac{V_{jet}}{V_{cf}} \right)^2 = (DR) \cdot (VR)^2, \quad (17)$$

که در آن  $DR$  و  $VR$  به ترتیب معرف نسبت چگالی و نسبت سرعت می‌باشند. با توجه به این‌که نسبت سرعت ثابت است، نسبت اندازه‌ی حرکت با نسبت چگالی متناسب است. این موضوع نشان می‌دهد که نسبت اندازه‌ی حرکت بهترین ابزار برای سنجش میزان نفوذ جت در جریان عرضی است.

نکته‌ی دوم این‌که نمودارهای مؤلفه‌ی افقی سرعت، نشان‌دهنده‌ی قدرت و یا ضعف جریان‌های برشی چند لایه‌ای هستند که در ناحیه‌ی پشت جت و نزدیک به آن، مطابق شکل (۷)، تشکیل می‌شود. در این خصوص می‌توان گفت که هرچه اختلاف بین مقدار بیشینه‌ی سرعت در همسایگی دیواره با مقدار کمینه‌ی آن بیشتر باشد، جریان‌های برشی چند لایه‌ای مذکور قوی‌تر خواهد بود. علاوه بر این، از شکل (۶) می‌توان نتیجه گرفت که افزایش نسبت چگالی باعث افزایش میزان نفوذ جت در جریان عرضی و شبیه‌تر شدن جت به یک جسم صلب خواهد شد. لذا افزایش چگالی، خصوصاً در نسبت سرعت ۰/۵ که در آن میزان نفوذ جت در جریان عرضی کم است، منجر به تقویت جریان‌های برشی چند لایه‌ای می‌شود. با افزایش بیشتر نسبت سرعت، همانطور که از نمودارها بر می‌آید، این ساختارها کمتر تحت تاثیر نسبت چگالی قرار می‌گیرند.

شکل (۸)، نمودارهای مؤلفه‌ی افقی سرعت را به ازای تغییر نسبت چگالی در نسبت سرعت ۰/۵، روی صفحه‌ی  $Z/Dj = 0$  و مقطع  $X/Dj = 10$  نشان می‌دهد. همانطور که مشاهده می‌شود، در نسبت چگالی ۰/۵، نمودار مؤلفه‌ی افقی سرعت تا

عدم وابستگی حل به شبکه عددی برای مدل‌های  $k - \omega$  و  $SST$  در شبکه‌ی سوم حاصل می‌شود که این موضوع، نمایان‌گر یکی از نقاط ضعف مدل  $\sqrt{f} - k\omega$  می‌باشد که از تعداد معادلات بیشتری در مقایسه با مدل‌های دو معادله‌ای رایج استفاده می‌کند.

به منظور اطمینان از صحت نتایج حاصل از شبیه‌سازی عددی، نتایج به دست آمده در نسبت سرعت ۰/۵ و نسبت چگالی ۱/۰، با نتایج تجربی آجرش و همکارانش [۱۳] که با استفاده از روش ال.دی.وی<sup>۱</sup> در سال ۱۹۹۷ به دست آمده، مقایسه شده است. در شکل (۴)، نمودارهای مؤلفه‌ی افقی سرعت در صفحه‌ی  $Z/Dj = 0$  و مقاطع  $X/Dj = 3, 5$  با نتایج آجرش و همکارانش، برای هر سه مدل آشتفتگی به کار رفته در این تحقیق مقایسه شده است. با دقت در این شکل‌ها در می‌یابیم که مدل  $\sqrt{f} - k\omega$ ، به خصوص در نزدیکی دیواره، از دقت بیشتری در مقایسه با مدل‌های  $k - \omega$  و  $SST$  برخوردار است. همچنین، مشاهده می‌شود که مقادیر مؤلفه‌ی افقی سرعت در ناحیه‌ی دنباله‌ی جت، توسط مدل‌های دومعادله‌ای بیشتر از مقدار واقعی آن پیش‌بینی می‌شود (مطابق با آنچه که توسط هدا و آچاریا [۱۲] نیز گزارش شده است) درحالی‌که نتایج مدل  $\sqrt{f} - k\omega$  بسیار نزدیک به نتایج آجرش و همکارانش می‌باشد.

در شکل (۵)، برای این‌که دقت مدل‌های به کار رفته بیشتر مورد ارزیابی قرار گیرد، نمودارهای انرژی جنبشی آشتفتگی که از حساسیت بیشتری نسبت به سایر کمیت‌ها برخوردارند، در صفحه‌ی  $Z/Dj = -0.5$  و مقاطع  $X/Dj = 3, 5$  با نتایج تجربی آجرش و همکارانش مقایسه شده است. با توجه به این نمودارها، برتری مدل آشتفتگی  $\sqrt{f} - k\omega$  در پیش‌بینی مقدار بیشینه‌ی انرژی جنبشی آشتفتگی و شکل نمودار آن، در مقایسه با مدل‌های دو معادله‌ای به کار رفته، کاملاً آشکار می‌باشد.

#### ۴. نتایج

نتایج به دست آمده از شبیه‌سازی عددی جریان در سه نسبت چگالی ۰/۵، ۱/۰ و ۲/۰ و برای سه نسبت سرعت ۰/۵، ۱/۰ و ۲/۰ مورد بحث و بررسی قرار گرفته است. در شکل (۶)، تغییرات نمودار مؤلفه‌ی افقی سرعت به ازای تغییرات نسبت چگالی نشان داده شده است. همانطور که مشاهده می‌شود، این نمودارها برای نسبت سرعت‌های ۰/۵، ۱/۰ و ۲/۰، به ترتیب در شکل‌های (الف-۶) الی (ج-۶)، در صفحه‌ی  $Z/Dj = 0$  و مقطع  $X/Dj = 3$  ترسیم

افزایش بیشتر نسبت چگالی، این ناحیه‌ی جدایش مطابق با شکل (ج-۱۰) گسترش می‌یابد.

شکل (۱۱)، نمودارهای انرژی جنبشی آشفتگی را در مقطع  $X/Dj = 3$ ، روی خط عبور کننده از مرکز جت، برای سه نسبت چگالی  $1/5, 1/10$  و  $1/20$ ، در سه نسبت سرعت  $0/5, 0/10$  و  $0/20$ ، نشان می‌دهد. با توجه به این نمودارها می‌توان به دو نکته اشاره نمود: نکته اول این که، در نسبت سرعت‌های پایین (قبل از جدا شدن جت از سطح) با افزایش نسبت چگالی، مقدار انرژی جنبشی آشفتگی در همسایگی دیواره کاهش می‌یابد. در صورتی که در نسبت سرعت‌های بالاتر و بعد از جدا شدن جت از سطح (نسبت سرعت (۲) با افزایش نسبت چگالی، میزان انرژی جنبشی آشفتگی در نواحی نزدیک به دیواره افزایش می‌یابد. حال با توجه به این که انرژی جنبشی آشفتگی نماینده میزان آشفتگی جریان محسوب می‌شود و نظر به این که میزان آشفتگی جریان در همسایگی دیواره نسبت مستقیمی با ضریب انتقال حرارت جابجایی دارد، می‌توان نتیجه گرفت که اثرات نسبت چگالی روی ضریب انتقال حرارت جابجایی کاملاً چشمگیر بوده و لحظه نکردن آن می‌تواند روی میزان انتقال حرارت محاسبه شده کاملاً تاثیرگذار باشد. نکته دوم این که، با افزایش نسبت چگالی در هر نسبت سرعت، مقدار بیشینه انرژی جنبشی آشفتگی کاهش می‌یابد. دلیل این موضوع افزایش ضخامت لایه‌ی برشی موجود بین سیال خروجی از جت و جریان عرضی می‌باشد که با افزایش نسبت چگالی، افزایش می‌یابد. این موضوع سبب می‌شود که نرخ کرنش در این نواحی کاهش یافته و به تبع آن، نرخ تولید انرژی جنبشی آشفتگی نیز کاهش یابد. اما نکته‌ی حائز اهمیت، کاسته شدن از اختلاف موجود در بیشینه شدت آشفتگی با افزایش نسبت سرعت می‌باشد. بطوریکه در نسبت سرعت  $2$ ، عملانه تفاوت چندانی در این رابطه در تمامی نسبت چگالی‌ها مشاهده نمی‌شود.

جدول (۴)، انتگرال انرژی جنبشی آشفتگی را در مقاطع مختلف  $X$  روی صفحه‌ی عبور کننده از مرکز جت نشان می‌دهد. این انتگرال‌ها برای هر مقطع در جهت محور  $Y$  محاسبه شده‌اند. لازم به ذکر است که در تحقیق حاضر، به منظور ثابت نگهداشت عدد رینولدز جت، تغییرات نسبت سرعت با کاستن از سرعت جریان عرضی حاصل شده است. لذا در نسبت سرعت‌های بالاتر، به علت سرعت کمتر جریان عرضی، تمامی جریان‌های برشی موجود ضعیف‌تر شده و به تبع آن متوسط انرژی جنبشی آشفته کاهش می‌یابد. از طرف دیگر، نتایج موجود در این جدول معیار بسیار خوبی برای بررسی تغییرات قدرت و ضخامت لایه‌های برشی

حدودی شیوه به نمودار مؤلفه‌ی افقی سرعت در جریان لایه‌ی مرزی شده است. این موضوع، نشان می‌دهد که تأثیرات جریان جت در این مقطع تا حدود زیادی ضعیف شده است. البته، در نسبت چگالی‌های بالاتر، اثرات جریان جت در این مقطع کاملاً محسوس است. بنابراین، می‌توان نتیجه گرفت که افزایش نسبت چگالی باعث نفوذ بیشتر جت در نواحی واقع در پایین دست خروجی جت می‌شود. این موضوع، در مورد نسبت سرعت‌های  $1$  و  $2$  نیز برقرار است.

شکل (۹)، نمودارهای مؤلفه‌ی عرضی سرعت (در جهت  $Z$ ) را به ازای تغییرات نسبت چگالی در صفحه‌ی  $Z/Dj = -0.5$  و  $Z/Dj = 3$ ، نشان می‌دهد. این نمودارها برای نسبت سرعت‌های  $0/5$  و  $0/10$  به ترتیب در شکل‌های (الف-۹) و (ب-۹) ترسیم شده‌اند. این نمودارها، نفوذ جت در جهت‌های عمودی و جانبی در داخل جریان عرضی را نشان می‌دهند. هرچه مقادیر بیشینه و کمینه مؤلفه‌ی عرضی سرعت بزرگتر باشد، نفوذ جانبی جت بیشتر خواهد بود. همچنین، هرچه کشیدگی این نمودارها در راستای محور قائم بیشتر باشد، نشان‌دهنده‌ی فاصله گرفتن بیشتر جت از سطح در راستای عمودی می‌باشد.

با توجه به توضیحات فوق، می‌توان نتیجه گرفت که افزایش نسبت چگالی باعث گسترش و نفوذ بیشتر جریان جت در راستای هر دو محور عمودی و جانبی می‌شود. به بیان دیگر، می‌توان عنوان کرد که میزان اختلاط جریان جت با جریان عرضی در اثر افزایش نسبت چگالی افزایش می‌یابد. همان‌طور که در شکل (ب-۹) مشاهده می‌شود، گسترش جانبی جت سرانجام در نسبت چگالی  $2$ ، توسط مرز پریودیک که اعمال کننده‌ی حضور جت‌های مجاور است، محدود می‌شود. محدود شدن گسترش جت توسط مرز پریودیک باعث نفوذ هرچه بیشتر آن در جهت عمودی شده که این نکته در نمودار مربوط به نسبت چگالی  $2$  این شکل کاملاً مشخص است.

شکل (۱۰)، خطوط همتراز دمایا در صفحه‌ی  $3$  برای نسبت سرعت  $1$  و سه نسبت چگالی  $1/5, 1/10$  و  $1/20$ ، به ترتیب در شکل‌های (الف-۱۰)، (ب-۱۰) و (ج-۱۰)، نشان می‌دهد. با توجه به این خطوط همتراز، به‌وضوح می‌توان به افزایش نفوذ جت در جریان عرضی به ازای افزایش نسبت چگالی پی‌برد. از طرفی، با مقایسه‌ی شکل (الف-۱۰) با شکل‌های (ب-۱۰) و (ج-۱۰) مشاهده می‌شود که در نسبت سرعت  $1$  و نسبت چگالی  $1$ ، جریان جت از صفحه جدا شده و سیال داغ به زیر جریان جت نفوذ کرده است. با

که قبل از جت و جریان عرضی می باشد. با توجه به نتایج موجود در این جدول، می توان به دو نکته اشاره نمود: نکته اول این که، در نسبت سرعت های ۱ و ۲ با افزایش نسبت چگالی، انتگرال انرژی جنبشی آشفته افزایش می یابد. حال آنکه در نسبت سرعت ۰/۵، این کمیت در بعضی مقاطع کاهش و در بعضی مقاطع افزایش می یابد. بنابراین، می توان نتیجه گرفت که بخصوص بعد از جدا شدن جت از سطح، افزایش نسبت چگالی به معنای افزایش اختلاط ناشی از آشفته ای میدان جریان می باشد. نکته دوم این که، با دور شدن از محل ورود جت به جریان عرضی وضعیت شدن لایه های برشی موجود در این جریان، میزان انرژی جنبشی آشفته ای نیز کاهش می یابد.

شکل (۱۲)، انرژی جنبشی آشفته ای متوسط گیری شده در جهت عرضی را در همسایگی دیواره نشان می دهد. این نتایج، می تواند معیار بسیار خوبی جهت ارزیابی تاثیرات نسبت چگالی بر ضریب انتقال حرارت جابجایی باشد. با توجه به این شکل، مشاهده می شود که تاثیرات نسبت چگالی بر سطح آشفته ای میدان جریان در نواحی نزدیک به خروجی جت به مرتبه بیشتر از نواحی دور دست واقع در پایین دست آن می باشد. این اثرات که در نسبت سرعت ۲ بیشتر مشخص می باشد، نشان می دهد که لحظه کردن اثرات مربوط به تغییرات نسبت چگالی تا چه حد می تواند سطح آشفته ای جریان و به دنبال آن، میزان انتقال حرارت جابجایی را تحت تاثیر قرار دهد. دلایلی که می توان برای این تغییرات در نواحی نزدیک به خروجی جت بر شمرد، وجود ساختارهای گردابه ای متعدد در این نواحی و تاثیر پذیری شدید آنها از نسبت اندازه حرکت می باشد. بنابراین، تغییرات نسبت چگالی از طریق تاثیری که بر این ساختارها و به تبع آن لایه های برشی موجود در این ناحیه می گذارد، نرخ تولید انرژی آشفته ای در این نواحی را بیشتر از مناطق دور دست، تحت تاثیر قرار می دهد.

اثر بخششی خنک کاری میانگین گیری شده در راستای محور Z برای سه نسبت چگالی ۰/۵، ۱ و ۲، در سه نسبت سرعت ۰/۵، ۱/۰ و ۲/۰، به ترتیب در شکل های (الف-۱۳) الی (ج-۱۳) نشان داده شده است. در نسبت سرعت ۰/۵، مشاهده می شود که با افزایش نسبت چگالی، با وجود این که مقدار سیال خنک تزریق شده روی سطح افزایش یافه ( $M_{jet} = \rho_{jet} V_{jet} A_{jet}$ )، اما با تشدید میزان اختلاط جریان جت با جریان عرضی، نه تنها اثرات این افزایش نسبت تزریق خشی می شود، بلکه اثر بخششی خنک کاری لایه ای در نواحی نزدیک به جت و نواحی دور از آن نیز کاهش می یابد. در نسبت سرعت ۱، مشاهده می شود که در نسبت چگالی ۱، همان طور

### نتیجه گیری

در این تحقیق، مسئله ای اندرکنش جت خنک با جریان عرضی داغ با استفاده از مدل چهار معادله ای  $\bar{F} - k\omega - v^2$  و مدل های دو معادله ای  $\omega - SST$  استاندارد،  $k$  مورد مطالعه قرار گرفت. در مقایسه با سایر مدل های دو معادله ای موجود استفاده، دقت مدل آشفته ای  $\bar{F} - k\omega - v^2$  در شبیه سازی این جریان پیچیده قابل توجه است. البته، لازم به ذکر است که مدل  $\bar{F} - k\omega - v^2$  از نظر پایداری عددی و زمان لازم برای اجرا، در مقایسه با مدل های دو معادله ای مذکور، از کیفیت کمتری برخوردار می باشد. با توجه به نتایج بدست آمده، میزان تاثیرات نسبت چگالی بر سطح آشفته ای میدان جریان و به تبع آن میزان انتقال حرارت جابجایی قابل توجه می باشد. علاوه بر این، در نسبت سرعت های پایین (قبل از جدا شدن جت از سطح)، با افزایش نسبت چگالی، اثرات منفی مرتبط با افزایش نسبت اندازه حرکت (افزایش میزان اختلاط جت و جریان عرضی) بر اثرات مثبت مرتبط با افزایش میزان سیال تزریق شده روی سطح غلبه کرده و اثر بخششی خنک کاری لایه ای کاهش می یابد. البته، در نسبت سرعت های بالا (بعد از جدا شدن جت از سطح)، اثر بخششی افزایش می یابد.

### مراجع

- Nicholas, D.C., "Effects of Realistic First-Stage Turbine End Wall Features," M.Sc. Thesis, Virginia Polytechnic Institute and State University, USA, 2005.
- Trent, A.V., "Shaped Hole Effects on Film Cooling Effectiveness and a Comparison of Multiple Effectiveness

- Jets," J. Computers& Fluids, Vol. 35, No. 6, pp. 587-606, 2006.
11. Hoda, A. and Acharya, S., "Prediction of Film Cooling Jet in Cross Flow with Different Turbulence Models," Journal of Turbomachinery, Vol. 122, pp. 558-569, 2000.
  12. Javadi, Kh., Taeibi-Rahni, M., and Darbandi, M., "Jet-into-Crossflow Boundary-Layer Control: Innovation in Gas Turbine Cooling," AIAA Journal, Vol. 45, No. 12, pp. 2910-2925, 2007.
  13. Ajersch, P., Zhou, J.M., Ketler, S., Salcudean, M., and Gartshore, I.S., "Multiple Jets in a Crossflow: Detailed Measurements and Numerical Simulations," Int. Gas Turbine and Aeroengine Congress and Exposition, ASME Paper 95-GT-9, Houston, TX, pp. 1-16, 1995.
  14. Jones, R.M., "Advance Turbulence Modeling for Industrial Flow," Ph.D. Dissertation, Louisiana State University, Baton Rouge, Louisiana, 2003.
  15. Bredberg, J., "A Note for Turbulence Models," Chalmers University of Technology, Department of Thermo and Fluid Dynamics, Internal Report 01/7, 2000.
  16. Bredberg, J., "An Introduction to Turbulence Models," Chalmers University of Technology, Department of Thermo and Fluid Dynamics, Internal Report 97/2, 2003.
  17. Menter, F.R., "Two-Equation Eddy-Viscosity Turbulence Models for Engineering Applications," AIAA Journal, Vol. 32, No. 8, pp.1598-1604, 1994.
  18. Versteeg, H.K. and Malalasekera, W., "An Introduction to Computational Fluid Dynamics, the Finite Volume Method," Longman, Malaysia, 1995.
  - Measurement Techniques," M.Sc. Thesis, Texas A&M University, USA, 2004.
  3. Goldestein, R.J., Eckert, E.R.G., and Bogard, F., "Effect of Hole Geometry and Density on Three Dimensional Film Cooling," Int. J. Heat and Mass Transfer, Vol. 17, pp. 595-607, 1973.
  4. Jubran, B. and Brown, A., "Film Cooling from Two Rows of Holes Inclined in the Streamwise and Spanwise Directions," ASME J. Eng. Gas Turbines Power, Vol. 107, pp. 84-91, 1985.
  5. Hass, W., Rodi, W. and Schonung, B. "The Influence of Density Difference Between Coolant Gas on Film Cooling by a Row of Holes: Prediction and Experiments," Turbomachinery J., Vol. 21, No. 2, pp.747-755, 1992.
  6. Ramezanizadeh, M., "Large Eddy Simulation of Film Cooling Using Different Subgrid Scale Models," Ph.D. Dissertation, Sharif University of Technology, Tehran, I.R. Iran, 2007.
  7. Ramezanizadeh, M., Taeibi-Rahni, M. and Saidi, M.H., "Investigation of Density Ratio Effects on Normally Injected Cold Jet into Hot Cross Flow," Archive of Applied Mech., pp. 835-847, 2007.
  8. Bogard, D.G. and Thole, K.A., "Gas Turbine Film Cooling" Journal of Propulsion and Power, Vol. 22, No. 2, pp. 249-269, 2006.
  9. Jones, T.V., "Theory of the Use of Foreign gas in Simulation Film Cooling," International Journal of Heat and Fluid Flow, Vol. 20, pp. 349-354, 1999.
  10. Renze, P., Schroder, W., and Meinke, M., "Large-Eddy Simulation of Film Cooling Flows with Variable Density

## جدول‌ها

جدول ۱. شرط مرزی دیواره برای مدل‌های آشتفتگی مختلف

|  |                                      |
|--|--------------------------------------|
| $\omega = \frac{60v}{\beta y^2}$                                   | برای مدل‌های SST و $k - \omega$      |
| $\omega = \frac{2v}{\beta y^2} \left( \frac{k}{v^2} \right)^{1-n}$ | برای مدل $\overline{v^2}F - k\omega$ |

جدول ۲. مختصات شبکه‌های محاسباتی مختلف به کار رفته برای جریان عرضی

| شماره شبکه | Ni  | Nj  | Nk | تعداد سلول‌ها |
|------------|-----|-----|----|---------------|
| 1          | 60  | 36  | 27 | 58320         |
| 2          | 115 | 36  | 27 | 111780        |
| 3          | 121 | 72  | 27 | 235224        |
| 4          | 121 | 72  | 34 | 470448        |
| 5          | 141 | 100 | 45 | 634500        |

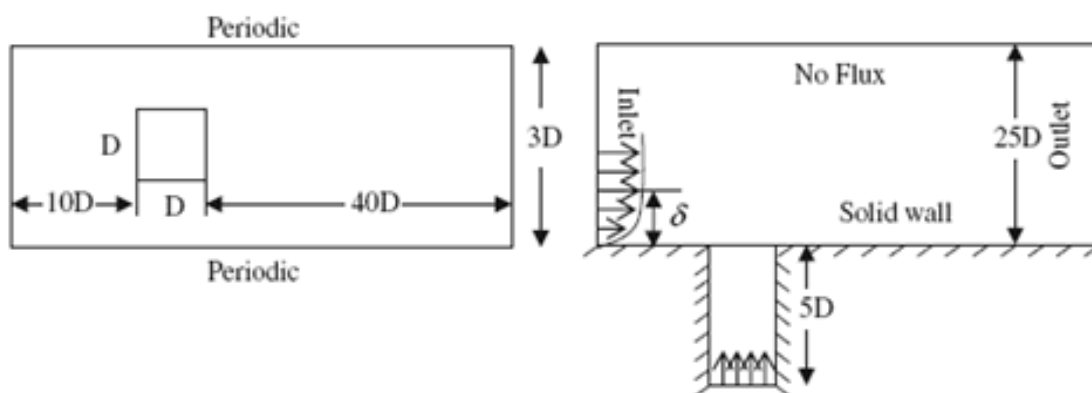
جدول ۳. مختصات شبکه‌های محاسباتی مختلف به کار رفته برای جریان جت

| شماره شبکه | Ni | Nj | Nk | تعداد سلول‌ها |
|------------|----|----|----|---------------|
| 1          | 7  | 16 | 7  | 787           |
| 2          | 7  | 32 | 7  | 1568          |
| 3          | 13 | 32 | 7  | 2912          |
| 4          | 13 | 32 | 13 | 5408          |
| 5          | 15 | 32 | 15 | 7200          |

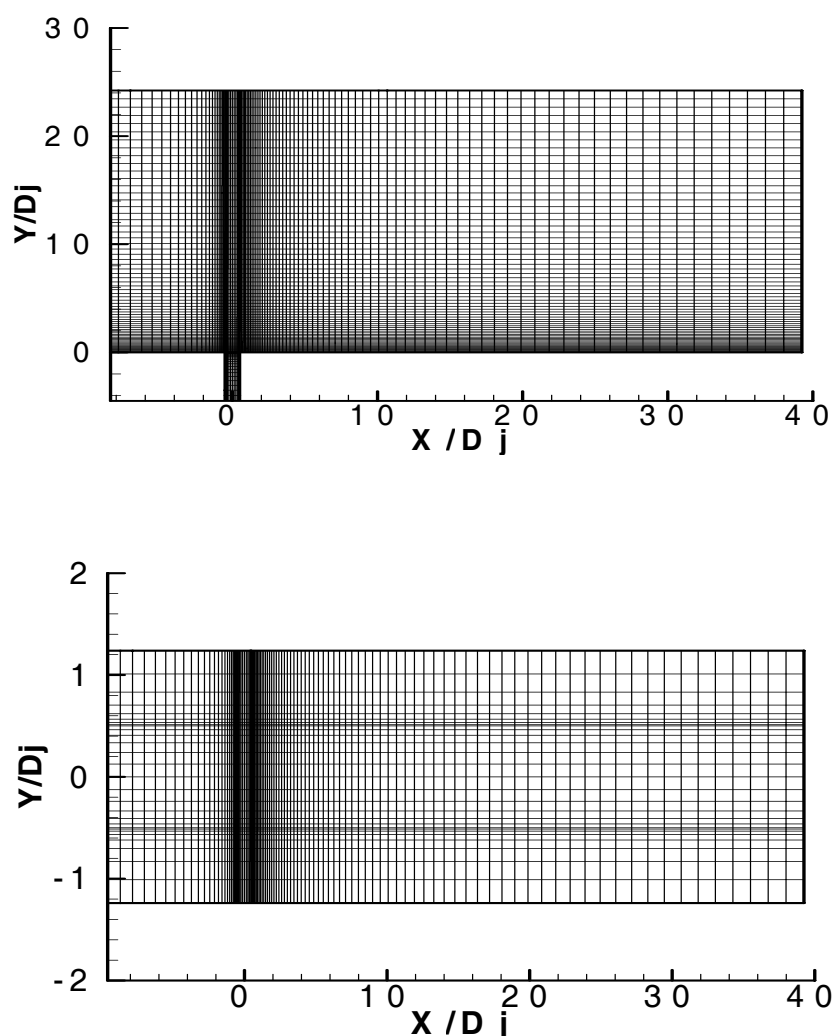
جدول ۴. مقایسه انگرال انرژی جنبشی آشفته در مقاطع مختلف

| نسبت سرعت | نسبت چگالی | انگرال انرژی جنبشی آشفته |                   |                   |                   |
|-----------|------------|--------------------------|-------------------|-------------------|-------------------|
|           |            | $\frac{X}{D} = 1$        | $\frac{X}{D} = 3$ | $\frac{X}{D} = 5$ | $\frac{X}{D} = 8$ |
| ۰/۵       | ۰/۵        | ۰/۲۴۸                    | ۱/۸۷۴             | ۰/۹۷۱             | ۰/۶۶۲             |
|           | ۱/۰        | ۰/۱۴۸                    | ۱/۵۷۱             | ۰/۹۲۹             | ۰/۶۷۴             |
|           | ۲/۰        | ۰/۱۸۶                    | ۱/۲۴۲             | ۰/۹۳۸             | ۰/۷۷۸             |
| ۱/۰       | ۰/۵        | ۰/۱۲۵                    | ۰/۷۱۴             | ۰/۳۰۰             | ۰/۱۷۷             |
|           | ۱/۰        | ۰/۱۳۴                    | ۰/۶۰۰             | ۰/۳۳۴             | ۰/۲۲۴             |
|           | ۲/۰        | ۰/۱۵۷                    | ۰/۹۹۲             | ۰/۴۴۹             | ۰/۲۹۳             |
| ۲/۰       | ۰/۵        | ۰/۱۱۱                    | ۰/۳۱۰             | ۰/۱۴۸             | ۰/۰۸۴             |
|           | ۱/۰        | ۰/۱۲۵                    | ۰/۴۲۰             | ۰/۲۲۵             | ۰/۱۳۷             |
|           | ۲/۰        | ۰/۱۴۰                    | ۰/۵۴۵             | ۰/۲۸۹             | ۰/۱۷۹             |

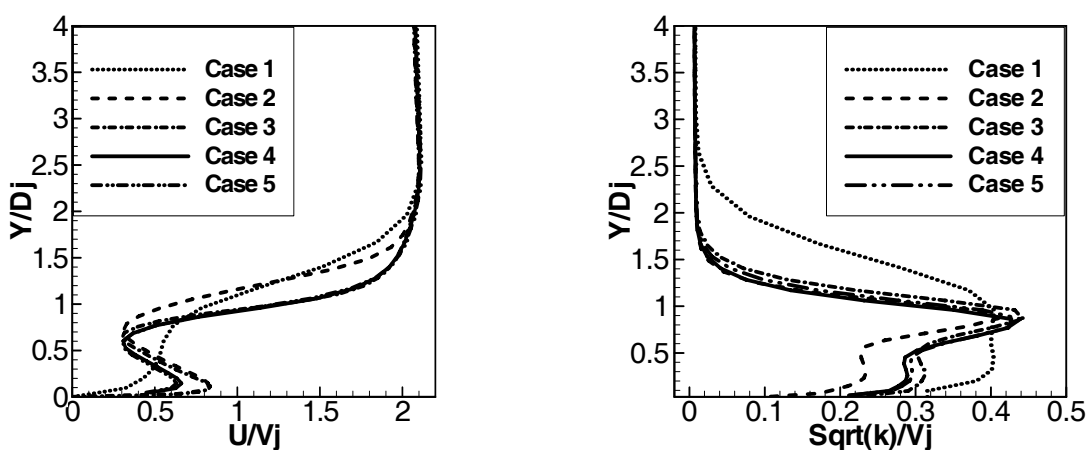
## شکل‌ها



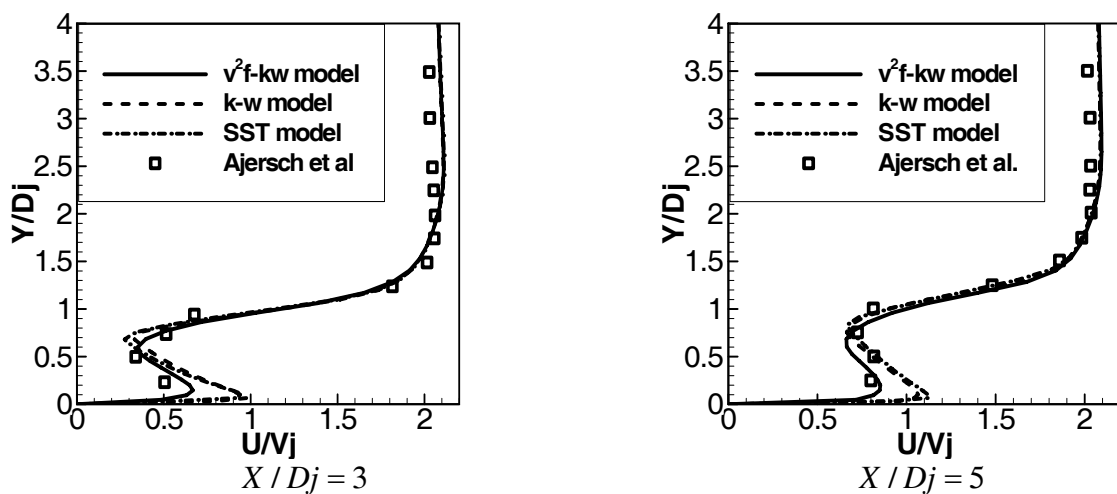
شکل ۱. شماتیک، ابعاد و شرایط مرزی مسئله‌ی مورد تحقیق



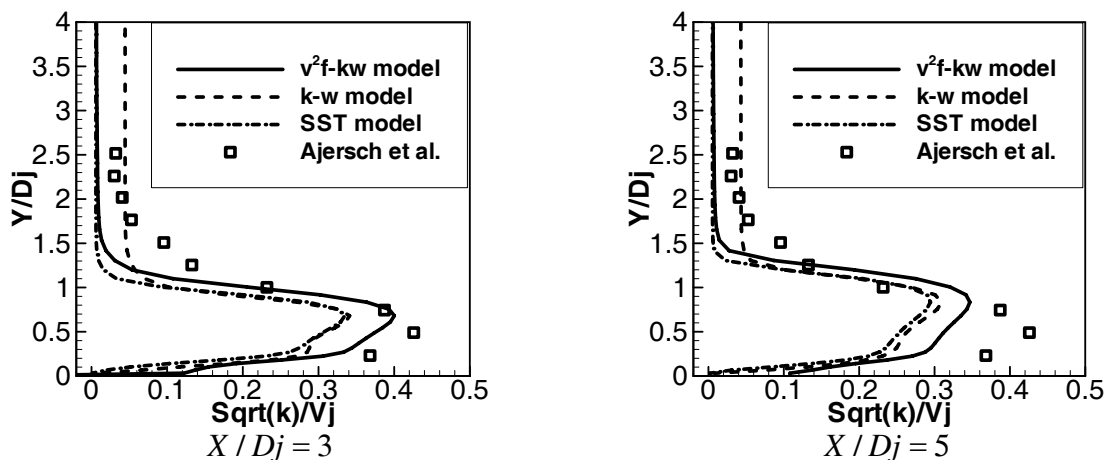
شکل ۲. چگونگی شبکه‌ی مورد استفاده جهت انجام شبیه‌سازی‌های عددی



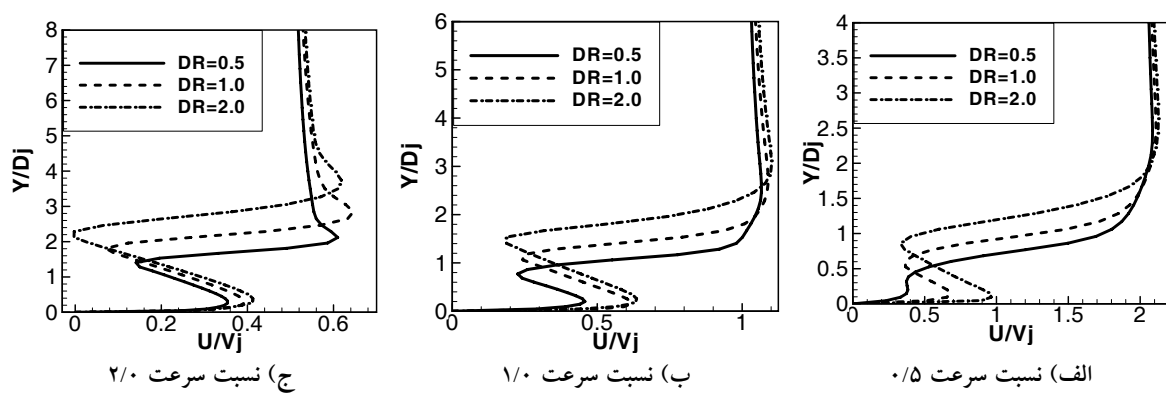
شکل ۳. نمودارهای مؤلفه‌ی افقی سرعت و انرژی جنبشی آشنازی حاصل از شبیه‌سازی عددی جریان برای شبکه‌های عددی مختلف



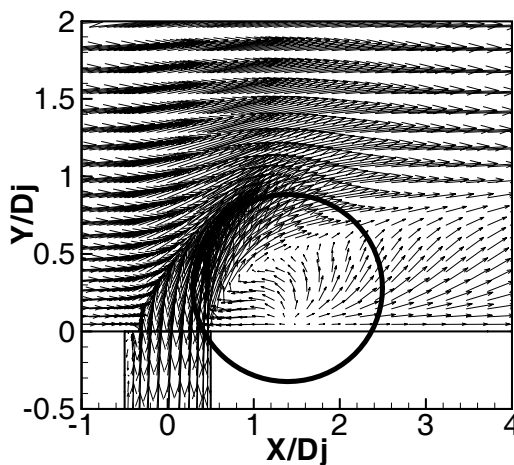
شکل ۴. مقایسه نمودارهای افقی سرعت بدست آمده با نتایج تجربی آجرش و همکارانش [۱۴]



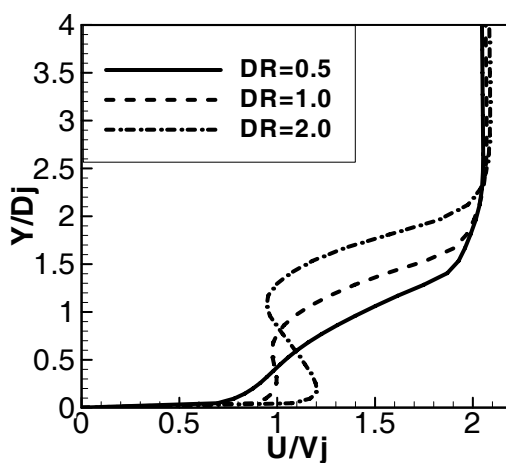
شکل ۵. مقایسه نمودارهای انرژی جنبشی آشفتگی بدست آمده با نتایج تجربی آجرش و همکارانش [۱۴]



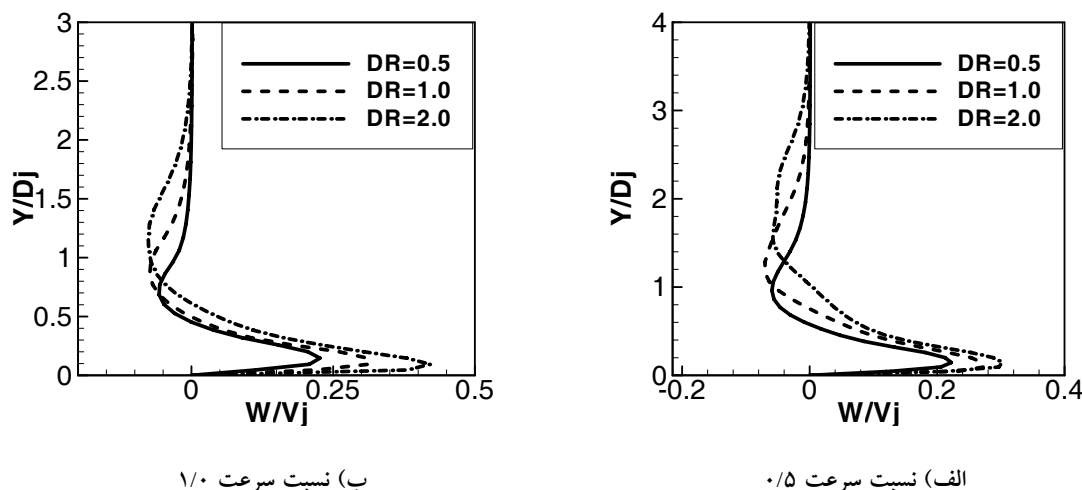
شکل ۶. نمودارهای مؤلفه افقی سرعت در نسبت سرعتها و نسبت چگالیهای مختلف



شکل ۷. نمایی از جریان‌های برشی چند لایه‌ای واقع در پشت جت



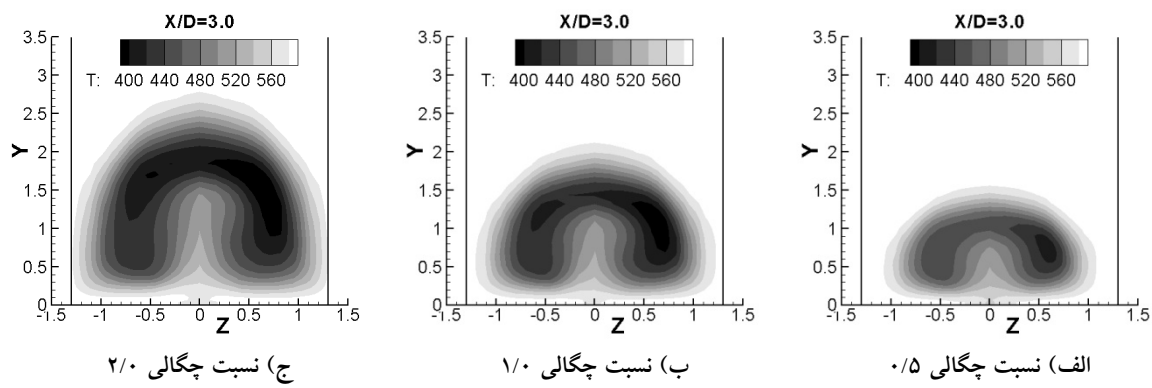
شکل ۸. نمودارهای مؤلفه‌ی افقی سرعت در نسبت سرعت  $5/0$  برای نسبت چگالی‌های مختلف در مقطع  $X / D_j = 10$



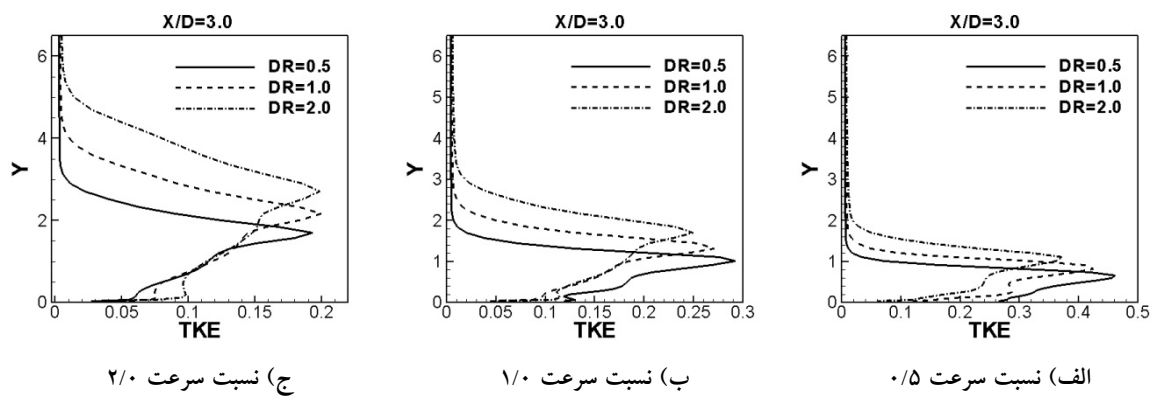
ب) نسبت سرعت  $10/0$

الف) نسبت سرعت  $5/0$

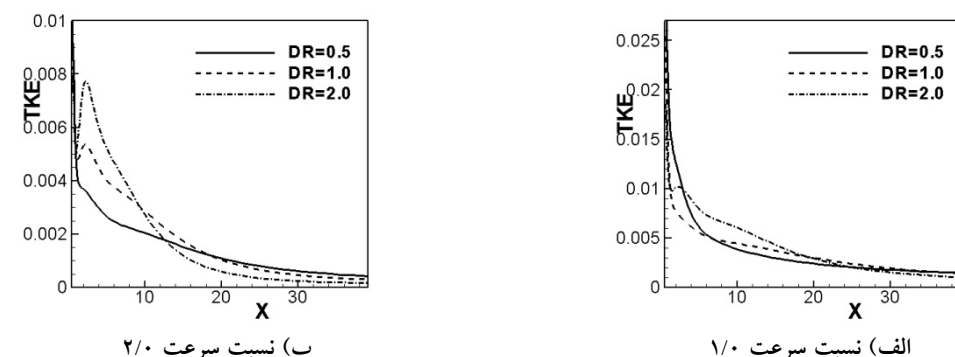
شکل ۹. نمودارهای مؤلفه‌ی عرضی سرعت در نسبت سرعت‌ها و نسبت چگالی‌های مختلف



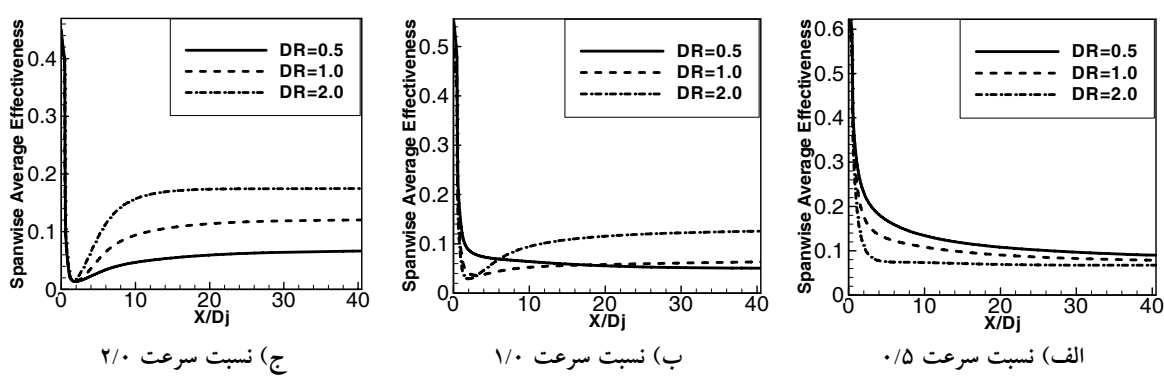
شکل ۱۰. خطوط همتراز دما برای سه نسبت چگالی ۰/۵، ۱/۰ و ۲/۰ در نسبت سرعت ۱/۰



شکل ۱۱. نمودارهای انرژی جنبشی آشفتگی در نسبت سرعت ها و نسبت چگالی های مختلف در  $Z/D=0.0$



شکل ۱۲. مقایسه نمودارهای انرژی جنبشی آشفتگی متوسط گیری شده عرضی روی سطح



شکل ۱۳. نمودارهای اثربخشی خنک کاری لایه ای در نسبت سرعت ها و نسبت چگالی های مختلف

